

## Resoluções do 1º Teste

### Problema-1 (3 volúmenes)

As equações de Maxwell "pre-Maxwell" escrevem-se assim como :

$$(**) \quad \nabla \cdot \vec{E} = \frac{\rho}{\epsilon_0} \quad \nabla \cdot \vec{B} = 0$$

$$\nabla \times \vec{E} = -\dot{\vec{B}} \quad \nabla \times \vec{B} = \mu_0 \vec{J} \quad (*)$$

A última equação<sup>(\*)</sup>, referindo à lei de Ampère, é a fonte de problemas de coerência visto que :

$$\begin{aligned} \nabla \cdot (\nabla \times \vec{B}) &= \partial_x (\partial_y B_z - \partial_z B_y) + \partial_y (\partial_z B_x - \partial_x B_z) + \partial_z (\partial_x B_y - \partial_y B_x) \\ &= 0 \end{aligned}$$

Mas,

$\mu_0 \nabla \cdot \vec{J}$  é em geral diferente de zero. De facto,

A equação de continuidade mostra que

$$\mu_0 \nabla \cdot \vec{J} = -\frac{\partial \rho}{\partial t}$$

$\nabla \cdot \vec{J} \neq 0$  sempre que há variações da densidade volumétrica de cargas no tempo.

O problema pode ser resolvido através da lei de Gauss,

com efeito  $(**) \Rightarrow$

$$\Rightarrow \frac{\partial \rho}{\partial t} = \epsilon_0 \nabla \cdot \dot{\vec{E}} \Rightarrow \mu_0 \nabla \cdot [\vec{J} + \epsilon_0 \dot{\vec{E}}] \equiv 0$$

A lei de Ampère deve portanto ser corrigida com a inclusão de uma "corrente de deslocamento".

$$\vec{J}_d = \epsilon_0 \frac{\partial \vec{E}}{\partial t}$$

de tal forma que

$$\nabla \times \vec{B} = \mu_0 \left[ \vec{J} + \epsilon_0 \frac{\partial \vec{E}}{\partial t} \right]$$

(Lei de Ampère modificada por Maxwell)

### Problema - 2 (6 pontos)

- (a) Começamos por estimar o campo magnético. Considerando a simetria do problema, podemos usar a lei de Ampère.

$$\nabla \times \vec{B} = \mu_0 \vec{J} + \epsilon_0 \mu_0 \frac{\partial \vec{E}}{\partial t}$$

Evidentemente, a dificuldade é que esta lei inclui a corrente de deslocamento: o cálculo de  $\vec{B}$  supõe conhecer  $\vec{E}$  e o cálculo de  $\vec{E}$  (que pode ser realizado invocando a lei de Faraday  $\nabla \times \vec{E} = -\frac{\partial \vec{B}}{\partial t}$ ) supõe conhecer  $\vec{B}$ . O problema pode ser tentativamente ultrapassado admitindo que  $\left| \epsilon_0 \frac{\partial \vec{E}}{\partial t} \right| \ll |\vec{J}|$ , isto é, ignorando a corrente de deslocamento, verificando depois a coerência destas suposições. (é isto que significa a expressão "em 1ª aproximação" no enunciado do problema).

Nas primeiras aproximações temos então:

$$\nabla \times \vec{B} \approx \mu_0 \vec{j} \quad (*)$$

Dado o simetria do problema,  $\vec{B}$  é, nestas condições um campo circunferencial cujo magnitude só depende da distância  $s$  ao fio condutor (no interior do tubo). Temos então de (\*):

$$\oint_C \vec{B} \cdot d\vec{\ell} = \mu_0 \iint_{\Sigma} \vec{j} \cdot \vec{n} d\Sigma \Rightarrow$$


(onde  $\Sigma$  é qualquer superfície assente no contorno  $C$ ).

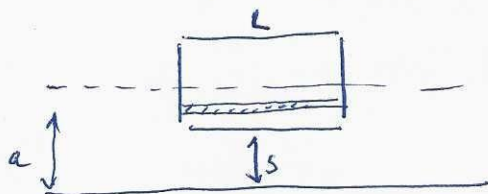
$$\Rightarrow 2\pi s B(s) = \mu_0 I(t) \Rightarrow \vec{B}(s) = \frac{\mu_0 I(t)}{2\pi s} \hat{\phi}$$

Evidentemente, para  $s > a$ ,  $I_{\text{tot}} = 0 \Rightarrow \vec{B}(s) = 0$

Temos então

$$\vec{B} = \begin{cases} 0 & \text{se } s > a \\ \frac{\mu_0 I(t)}{2\pi s} \hat{\phi} & \text{se } s < a \end{cases}$$

Podemos agora calcular o campo eléctrico (nestas aproximações).



Consideremos o circuito rectangular representado na figura, e a

lei de Faraday:  $\nabla \times \vec{E} = -\frac{\partial \vec{B}}{\partial t} \Rightarrow$

$$\Rightarrow \oint \vec{E} \cdot d\vec{\ell} = -\frac{\partial}{\partial t} \iint_{\Sigma} \vec{B} \cdot \vec{n} d\Sigma \quad (\text{onde } \Sigma \text{ é alguma vez qualquer}$$

superfície assente no contorno). Como, dado o simetria do problema,  $\vec{E} \parallel \hat{z}$  e  $|\vec{E}| = 0$  se  $s > a$ , temos;

$$E(s) \cdot L = - \frac{\partial}{\partial t} \int_s^a L ds \cdot \frac{\mu_0 I(t)}{2\pi s}$$

$$= - \frac{\mu_0}{2\pi} \frac{dI}{dt} \cdot L \int_s^a \frac{ds}{s} \Rightarrow$$

$$\Rightarrow \vec{E} = - \frac{\mu_0}{2\pi} \frac{dI}{dt} \ln\left(\frac{a}{s}\right) \hat{z} = \frac{\mu_0 I_0 \omega \sin(\omega t)}{2\pi} \ln\left(\frac{a}{s}\right) \hat{z}$$

(dado que  $I(t) = I_0 \cos(\omega t)$ ),

b)

$$\vec{J}_d = \epsilon_0 \frac{\partial \vec{E}}{\partial t} = \frac{\epsilon_0 \mu_0 I_0 \omega^2 \cos(\omega t)}{2\pi} \ln\left(\frac{a}{s}\right) \hat{z}$$

A corrente de deslocamento total corresponde ao fluxo desta densidade de corrente através de seção transversal do tubo:

$$\begin{aligned} I_d &= \frac{\epsilon_0 \mu_0 I_0 \cos(\omega t) \omega^2}{2\pi} \int_0^a \ln\left(\frac{a}{s}\right) 2\pi s ds \\ &= \epsilon_0 \mu_0 \omega^2 I(t) \int_0^a [s \ln a - s \ln s] ds \\ &= \epsilon_0 \mu_0 \omega^2 I(t) \left[ \frac{a^2}{2} \ln a - \frac{a^2}{2} \ln a + \frac{a^2}{4} \right] \\ &= \frac{\epsilon_0 \mu_0 \omega^2 a^2 I(t)}{4} = I(t) \frac{\omega^2 a^2}{4c^2} \end{aligned}$$

Nota: a aproximação usada no cálculo a) supõe que

$$\frac{\omega^2 a^2}{4c^2} \ll 1$$



$$c) \quad \vec{S} = \frac{1}{\mu_0} (\vec{E} \times \vec{B}) = \frac{\mu_0^2}{2\pi \mu_0} I_0 \omega \sin(\omega t) \ln\left(\frac{a}{s}\right) \cdot \frac{I_0 \cos(\omega t)}{2\pi s} (\hat{z} \times \hat{\phi})$$

$$= \frac{\mu_0}{4\pi^2 s} I_0^2 \omega \ln\left(\frac{a}{s}\right) \sin(\omega t) \cdot \cos(\omega t) (-\hat{s})$$

$$\vec{p}_{em} = \epsilon_0 \mu_0 \vec{S} = - \frac{\mu_0}{c^2 4\pi^2} I_0^2 \omega \sin(\omega t) \cos(\omega t) \frac{1}{s} \ln\left(\frac{a}{s}\right) \hat{s}$$

### Problema 3 (6 valores)

a) Um campo vectorial fica completamente definido pelo especificação de sua divergência e de seu rotacional.

Em situações estáticas,  $\nabla \times \vec{E} \equiv 0$ . Neste caso,  $\vec{E}$  é completamente especificado pelo sua divergência. A lei de Gauss permite pois determiná-lo:  $\nabla \cdot \vec{E} = \frac{\rho}{\epsilon}$ .

Se conhecermos a correspondente densidade volumétrica de cargas  $\rho$ .

No caso do campo auxiliar  $\vec{D} = \epsilon_0 \vec{E} + \vec{P}$ ,  $\nabla \times \vec{D} = 0$

se e só se  $\nabla \times \vec{P} = 0$  (em situações estáticas). Só neste caso a "pseudo lei de Gauss",  $\nabla \cdot \vec{D} = \rho_L$  ( $\rho_L$  = densidade volumétrica de cargas livres) é capaz de determinar  $\vec{D}$ .

No caso em análise, a simetria impõe que a polarização induzida no corpo dielétrico é radial ( $\vec{P} = P(r) \hat{r}$ ), pelo que  $\nabla \times \vec{P} = 0$ . Podemos portanto usar, neste caso, a pseudo-lei de Gauss para calcular  $\vec{D}$ , campo que depende apenas da distribuição de cargas livres (a única que conhecemos).  
Nestas condições:

$$\nabla \cdot \vec{D} = \rho_f \Rightarrow \begin{cases} \vec{D} = 0 & \text{se } r < a \quad (*) \\ \vec{D} = \frac{Q}{4\pi r^2} \hat{r} & \text{se } r > a \end{cases}$$

(\*) A carga  $Q$  da esfera metálica distribui-se à superfície.

Como a dielétrica é linear, isotrópica e neutra temos:

$$\vec{E} = \begin{cases} 0 & \text{se } r < a \\ \frac{Q}{4\pi \epsilon r^2} \hat{r} & \text{se } a < r < b \\ \frac{Q}{4\pi \epsilon_0 r^2} \hat{r} & \text{se } r > b \end{cases}$$

O campo eléctrico apresenta descontinuidades nas superfícies  $r=a$  e  $r=b$ .

b)  $\vec{P} = \epsilon_0 \chi \vec{E}$

$$\vec{P} = \cancel{\epsilon_0} \chi \frac{Q}{4\pi r^2} \frac{1}{\cancel{\epsilon_0}(1+\chi)} \hat{r}$$

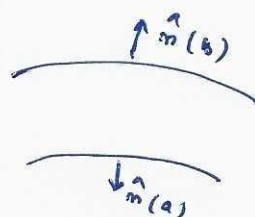
A polarização do dielétrico é radial (por simetria)

$$\vec{P} = \frac{\chi}{1+\chi} \frac{Q}{4\pi r^2} \hat{r}$$

$$-\nabla \cdot \vec{P} = \rho_b = 0 \quad \text{visto que} \quad \nabla \cdot \left( \frac{\hat{r}}{r^2} \right) = 0 \quad \forall r \neq 0.$$

Temos então apenas distribuições superficiais de cargas ligadas:  $(\sigma = \vec{P} \cdot \hat{n})$ :

$$\sigma_a = - \frac{\chi}{1+\chi} \frac{Q}{4\pi a^2}$$



$$\sigma_b = + \frac{\chi}{1+\chi} \frac{Q}{4\pi b^2}$$

Note que a carga ligada total,  $4\pi(a^2\sigma_a + b^2\sigma_b) = 0$

c)  $u = \frac{1}{2} \vec{D} \cdot \vec{E}$  (densidade volumétrica de energia eletrostática)

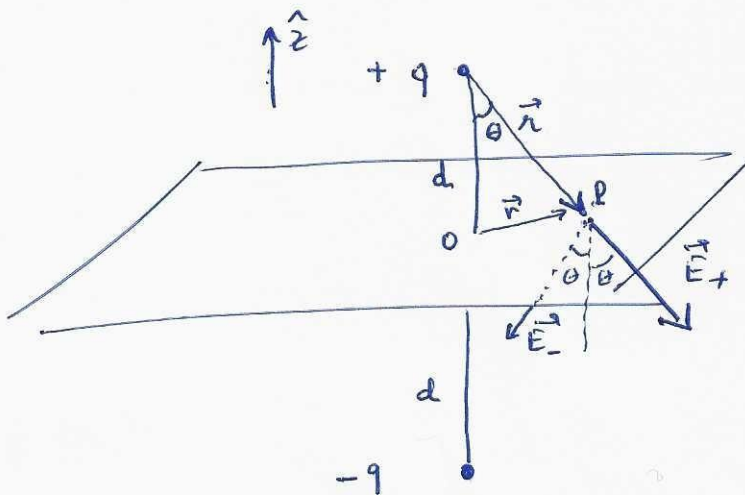
A energia total corresponde ao integral desta densidade sobre todo o espaço

$$E = \frac{1}{2} \int \vec{D} \cdot \vec{E} \, dV =$$

$$= \frac{1}{2} \left( \frac{Q}{4\pi} \right)^2 \frac{1}{\epsilon} \int_a^b \frac{1}{r^4} 4\pi r^2 dr + \frac{1}{2} \left( \frac{Q}{4\pi} \right)^2 \frac{1}{\epsilon_0} \int_b^\infty \frac{1}{r^4} 4\pi r^2 dr$$

$$\begin{aligned}
&= \frac{1}{2} \frac{Q^2}{4\pi\epsilon} \left[ -\left(\frac{1}{r}\right)_a^b - \frac{\epsilon}{\epsilon_0} \left(\frac{1}{r}\right)_b^\infty \right] = \\
&= \frac{1}{2} \frac{Q^2}{4\pi\epsilon} \left[ \frac{1}{a} - \frac{1}{b} + \frac{\epsilon}{\epsilon_0} \frac{1}{b} \right] \\
&= \frac{1}{2} \frac{Q^2}{4\pi\epsilon} \left[ \frac{1}{a} - \frac{1}{b} \left(1 - \frac{\epsilon}{\epsilon_0}\right) \right]
\end{aligned}$$

#### Problema 4 (5 volúmenes)



No plano  $xy$  equidistante das duas cargas o campo eléctrico  $\vec{E} = \vec{E}_+ + \vec{E}_-$  tem apenas uma componente não nula (segundo  $zz'$ )

No ponto P (ver figura)  $\vec{E}(P) = -\frac{1}{4\pi\epsilon_0} \frac{q}{r^2} 2 \cos\theta \hat{z}$

$\vec{E}(P) = -\frac{1}{2\pi\epsilon_0} \cdot \frac{q d}{(r^2 + d^2)^{3/2}} \hat{z}$ , visto que  $\cos\theta = \frac{d}{\sqrt{r^2 + d^2}}$

$r^2 = r^2 + d^2$ ,

A magnitude do campo eléctrico depende  $\therefore$  apenas de  $r$  a distância do ponto à origem  $O$  (ver figura).



Pode-se calcular a única componente relevante do tensor de Maxwell no plano considerado. É óbvio que  $T_{ij} = 0$  se  $i \neq j$  ( $\vec{E} \parallel \hat{z}$ ). Logo a normal à superfície que abarca a carga  $(+q)$  (fechada por uma <sup>superfície</sup> hemisférica - esférica de raio infinito no qual  $|\vec{E}| = 0$ ) é, no plano  $\hat{n} = -\hat{z}$  tem

$$d\vec{f} = df_z \hat{z} = -T_{zz} \hat{z}$$

$$T_{zz} = \frac{1}{2} \epsilon_0 E^2 = \frac{1}{8\pi^2 \epsilon_0} \frac{q^2 d^2}{(r^2 + d^2)^3}$$

$$F_z = - \frac{q^2}{8\pi^2 \epsilon_0} \int_0^\infty \frac{d^2}{(r^2 + d^2)^3} \cdot 2\pi r dr$$

$$= - \frac{q^2}{4\pi \epsilon_0} \frac{1}{(2d)^2} \quad \square$$